

29.7 эВ в спектрах отражения ВТО могут быть связаны с переходами  $5d_{5/2} \rightarrow 6p_{3/2}$ ,  $5d_{3/2} \rightarrow 6p_{1/2}$ ,  $5d_{3/2} \rightarrow 6p_{3/2}$  в ионе  $\text{Bi}^{3+}$ .

Спектральная зависимость  $\epsilon_{\text{эфф}}$  (рис. 2), характеризующая поляризацию электронных оболочек, показывает, что наибольший вклад в  $\epsilon_{\text{эфф}}$  дают оптические переходы, соответствующие А- и В-полосам поглощения с максимумами при 5.2 и 15 эВ, хотя и разность  $\delta\epsilon = \epsilon_0 - \epsilon_{\text{эфф}} = 0.5$ , где  $\epsilon_0$  — статическая диэлектрическая проницаемость, указывает на необходимость учета поляризуемости глубоколежащих уровней ( $h\nu \geq 20$  эВ). Спектральная зависимость  $n_{\text{эфф}}$  указывает на наличие трех участков на кривой  $n_{\text{эфф}}(h\nu)$  (7.5, 15.0, 31 эВ), связанных соответственно с участием в оптических переходах 2p-электронов кислорода, d-электронов висмута и s-электронов кислорода.

### Л и т е р а т у р а

- [1] Петров М. П., Пикалев А. С., Хоменко А. В. В сб.: Пространственные модуляторы света. Л.: Наука, 1977, с. 42—53.
- [2] Эфендьев Ш. М., Мамедов А. М., Багиев В. Э., Эйвазова Г. М. ЖТФ, 1981, т. 51, № 8, с. 1755—1757.
- [3] Эфендьев Ш. М., Мамедов А. М., Багиев В. Э., Эйвазова Г. М. ФТТ, 1980, т. 22, № 12, с. 3705—3707.
- [4] Efendiev Sh. M., Bagiev V. E., Zejnally A. Kh. et al. Phys. St. Sol. (a), 1981, vol. 63, N 1, p. K19—K22.
- [5] Довеий Я. О., Заморский М. К., Михайлин В. В., Колобанов В. Н. Изв. вузов. Физика, 1986, т. 29, № 4, с. 110—112.
- [6] Реза А. А., Сенулене Д. Б., Беляев В. А., Монов Е. И. Письма в ЖТФ, 1979, т. 5, № 8, с. 465—469.
- [7] Futro A. T. J. Phys. Chem. Sol., 1979, vol. 40, N 1, p. 201—207.
- [8] Глускин Е. С., Кошубей В. А. Космич. исслед., 1980, т. 18, № 3, с. 476—480.
- [9] Klucker R., Nielsen U. Comp. Phys. Commun., 1973, vol. 6, N 1, p. 187—193.
- [10] Efendiev Sh. M., Kulieva T. Z., Lomonov V. A. et al. Phys. St. Sol. (a), 1982, vol. 74, N 1, p. K17—K21.
- [11] Abrahams S. C., Bernstein J. L., Svensson C. J. Chem. Phys., 1979, vol. 71, N 2, p. 788—792.
- [12] Leonhardt G., Neumann H. Phys. scripta, 1977, vol. 16, N 5—6, p. 448—451.
- [13] Нокс Р., Голд А. В кн.: Симметрия в твердом теле. М.: Наука, 1970. 424 с.
- [14] Иванов В. Ю., Кружалов А. В., Каргин Ю. Ф. и др. ФТТ, 1986, т. 28, № 5, с. 1479—1483.

Азербайджанский государственный  
университет им. С. М. Кирова

Баку

Поступило в Редакцию  
26 февраля 1988 г.  
В окончательной редакции  
25 мая 1988 г.

УДК 537.311.322 : 538.61

Физика твердого тела, том 30, № 10, 1988  
Solid State Physics, vol. 30, № 10, 1988

### СПИНОВОЕ РАСПЩЕПЛЕНИЕ ЭКСИТОННОГО СОСТОЯНИЯ В МАГНИТОСМЕШАННЫХ КРИСТАЛЛАХ $\text{Pb}_{1-x}\text{Mn}_x\text{I}_2$

А. И. Савчук, Б. Е. Деркач

Одним из характерных признаков существования обменного взаимодействия зонных носителей заряда с электронами незаполненной d-оболочки иона  $\text{Mn}^{2+}$  в магнитосмешанных твердых растворах является обнаружение во внешнем магнитном поле больших спиновых расщеплений экситонных состояний. Из полученных ранее для  $\text{Pb}_{1-x}\text{Mn}_x\text{I}_2$  результатов [1—5] следует выделить данные по выявлению усиления межзонного эффекта Фарадея [1, 3], свидетельствующие о существенности носитель-ионного обменного взаимодействия, однако попытка зарегистрировать гигантское спиновое расщепление при изучении экситонного магнитоотражения оказалась безуспешной.

В настоящей работе сообщается о результатах первых наблюдений зеемановского спинового расщепления экситонной линии поглощения на основе исследования магнитопоглощения и эффекта Фарадея в  $Pb_{1-x}Mn_xI_2$ . В отличие от условий экспериментов [1] измерения проводились на тонких монокристаллических образцах ( $d \leq 1$  мкм), приготовленных по методике [4]. Спектры экситонного магнитопоглощения регистрировались

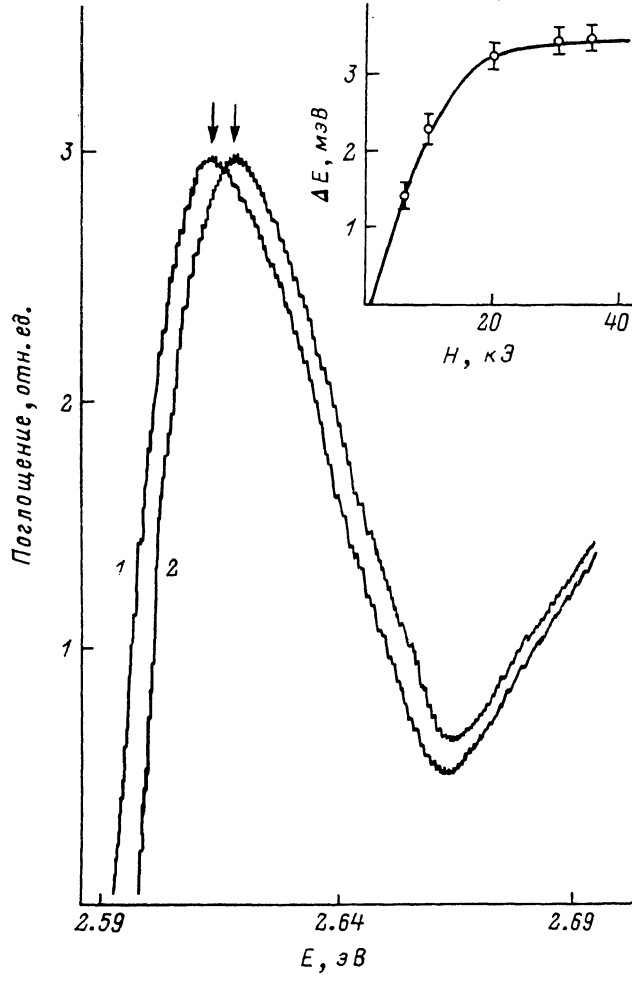


Рис. 1. Спектры поглощения кристаллов  $Pb_{0.92}Mn_{0.08}I_2$  в магнитном поле  $H=30$  кЭ при  $T=5$  К.

1 — поляризация  $\sigma^-$ , 2 — поляризация  $\sigma^+$ . На вставке — магнитополевая зависимость спинового расщепления.

в циркулярно-поляризованном свете для конфигурации Фарадея в магнитных полях до  $H_{\max}=35$  кЭ при  $T=5$  К.

Спектр поглощения  $PbI_2$  при 5 К содержит развитую структуру экситона Ванье—Мотта с членами серии  $E_1=2.498$ ,  $E_2=2.521$ ,  $E_3=2.540$  эВ. Для смешанных кристаллов переходы в возбужденные экситонные состояния сильно уширены, а основная экситонная полоса испытывает коротковолновый сдвиг, описываемый в интервале составов  $x \leq 0.15$  коэффициентом  $dE_1/dx=1.25 \pm 0.05$  эВ. В результате введения в решетку  $PbI_2$  магнитных ионов  $Mn^{2+}$ , замещающих атомы  $Pb$ , следует ожидать появления взаимодействия локализованных на них спиновых моментов со спинами носителей, образующих экситон. В свою очередь такое взаимодействие должно вызвать спиновое расщепление экситонного состояния, причем в конфигурации  $H \parallel c$  активны по два перехода в  $\pi$  и  $\sigma^+$ ,  $\sigma^-$  поля-

ризованном свете [1]. Действительно, пример записи экситонной полосы поглощения в  $\sigma^+$  и  $\sigma^-$  поляризациях (рис. 1) иллюстрирует спиновое расщепление в образце с  $x=0.08$ . Достоверность такой идентификации, несмотря на малую величину расщепления  $\Delta E$  (заметно меньшую ширины экситонной полосы), подкрепляется практически симметричным смещением всей полосы при изменении поляризации от  $\sigma^+$  к  $\sigma^-$ . Характерно также, что магнитополевая зависимость  $\Delta E$  (вставка к рис. 1), определяемая по смещению длинноволнового крыла экситонной полосы, имеет вид, типичный для класса магнитосмешанных кристаллов, и аппроксимируя

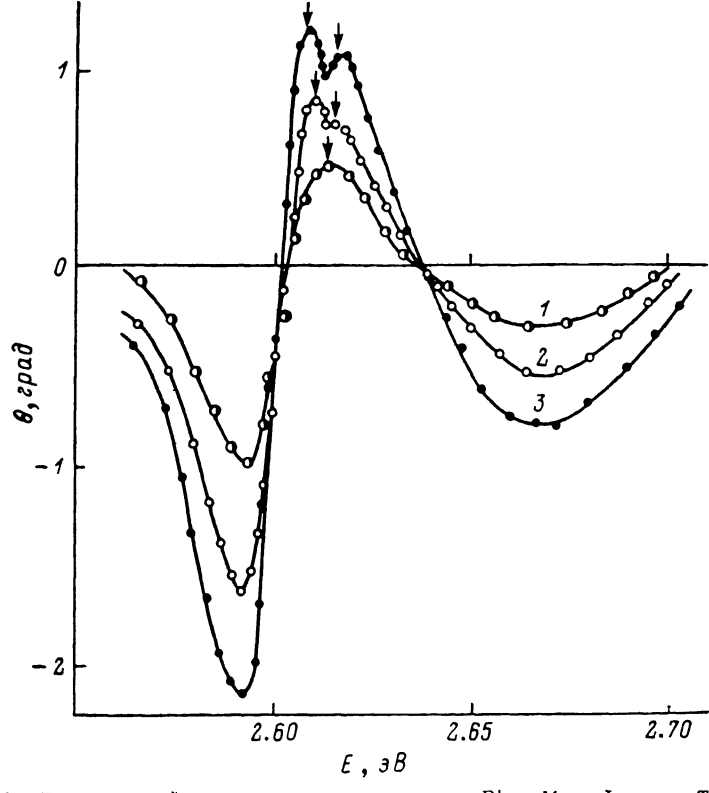


Рис. 2. Дисперсия фарадеевского вращения в  $Pb_{0.92}Mn_{0.08}I_2$  при  $T=5$  К.  
 $H$ , кЭ: 1 — 5, 2 — 15, 3 — 20.

ется бриллюэновской функцией  $B_s$  (a), описывающей Больцмановское распределение состояния со спином  $S=5/2$  по зеемановским компонентам.

Дополнительные сведения о спиновом расщеплении получены при исследовании эффекта Фарадея в экситонной области. На спектральной зависимости фарадеевского вращения (рис. 2) по мере роста магнитного поля отчетливо обнаруживается провал в области положительного максимума, который можно интерпретировать в рамках проявления зеемановского расщепления линии поглощения для случая одинаковой интенсивности компонент дублета. Кроме того, имеет место значительное усиление величины фарадеевского вращения, сопровождающееся изменением направления вращения в смешанных кристаллах по сравнению с  $PbI_2$ , как и в экспериментах с толстыми образцами [1].

Полученные данные о величине спинового расщепления двумя методами согласуются между собой и позволяют провести оценку суммы обменных констант для кристаллов  $Pb_{1-x}Mn_xI_2$ . Наблюдаемое спиновое расщепление экситонного терма можно представить (пренебрегая расщеплением из-за непосредственного воздействия магнитного поля на спины носителей) в виде  $\Delta E = xN_0(J_e + J_h)\langle S_z \rangle$ , где  $J_e, h$  — обменные интегралы,  $N_0$  — число катионных состояний в единице объема. Среднее значение

*z*-компоненты ( $H \parallel z$ ) намагниченности магнитопримесной подсистемы  $\langle S_z \rangle$  определяется выражением

$$\langle S_z \rangle = -S_0 B_{\gamma_1} (5g\mu_B H/2k(T + T_0)).$$

Здесь  $B_{\gamma_1}(a)$  — функция Бриллюэна,  $g=2$ ,  $\mu_B$  — магнетон Бора,  $S_0$  — величина насыщения намагниченности,  $(T + T_0)$  — эффективная температура. Значения параметров  $S_0$  и  $T_0$  оценивались по магнитополевой зависимости расщепления  $\Delta E(H)$  и из температурной зависимости фарадеевского вращения  $\theta(T)$  соответственно. Значения параметров  $S_0$ ,  $T_0$  вместе в оцененной величиной  $N_0(J_s + J_h)$  согласуются с соответствующей оценкой при исследовании межзонного эффекта Фарадея для состава  $x=0.03$  [1] (см. таблицу).

Параметры,  
характеризующие обменное взаимодействие  
в магнитосмешанных кристаллах  $Pb_{1-x}Mn_xI_2$

$x$	$\Delta E_{\text{эксп.}}, \text{мэВ}$ ( $H = 30 \text{ кГ}, T = 5 \text{ К}$ )	$S_0$	$T_0, \text{К}$	$N_0(J_s + J_h), \text{эВ}$
0.05	$3.0 \pm 0.5$	0.7	1.0	$-0.05 \pm 0.02$
0.08	$3.5 \pm 0.5$	0.5	1.5	$-0.06 \pm 0.02$

Совокупность полученных для кристаллов  $Pb_{1-x}Mn_xI_2$  экспериментальных данных — наличие спинового расщепления экситонной линии, характерная магнитополевая зависимость величины расщепления, форма дисперсионной кривой фарадеевского вращения, магнитополевая и температурная зависимости эффекта Фарадея — свидетельствуют о том, что для них весьма существенны эффекты  $s$ ,  $p-d$  обменного взаимодействия. Открытым пока остается вопрос о том, какое именно своеобразие в проявлении  $s$ ,  $p-d$  обменного взаимодействия привносит слоистая структура исследуемых твердых растворов  $Pb_{1-x}Mn_xI_2$ .

#### Л и т е р а т у р а

- [1] Абрамишвили В. Г., Комаров А. В., Рябченко С. М. и др. ФТТ, 1987, т. 29, № 4, с. 1129—1134.
- [2] Бродин М. С., Блонский И. В., Карапаев В. Н. и др. ФТТ, 1987, т. 29, № 6, с. 1723—1729.
- [3] Савчук А. И., Деркач Б. Е., Ватаманюк П. П., Ляхович А. Н. Тез. докл. Всес. конф. «Тройные полупроводники и их применение». Кишинев, 1987, т. 2, с. 137.
- [4] Савчук А. И., Деркач Б. Е., Ляхович А. Н. ФТП, 1987, т. 21, № 9, с. 1721—1723.
- [5] Савчук А. И., Деркач Б. Е., Ватаманюк П. П. ФТП, 1988, т. 22, № 3, с. 512—514.

Черновицкий  
государственный университет  
Черновцы

Поступило в Редакцию  
30 марта 1988 г.  
В окончательной редакции  
25 мая 1988 г.

УДК 539.73

Физика твердого тела, том 30, № 10, 1988  
Solid State Physics, vol. 30, № 10, 1988

## КОЭФФИЦИЕНТ ДИФФУЗИИ ВИНТОВЫХ ДИСЛОКАЦИЙ МЕХАНИЗМОМ ДВОЙНОГО ПОПЕРЕЧНОГО СКОЛЬЖЕНИЯ

Г. А. Малыгин

Винтовые дислокации, перемещаясь в своей основной плоскости скольжения, могут из нее выходить в параллельную плоскость механизмом двойного поперечного скольжения (ДПС). Экспериментальным свиде-